

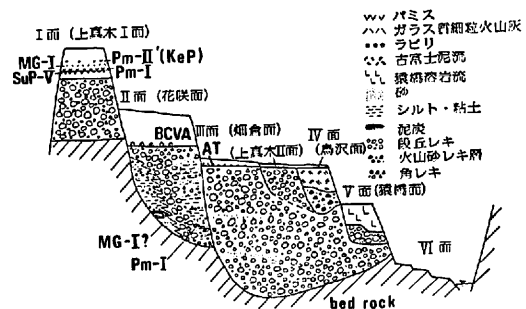
相模川上流部の河岸段丘

渡辺悌二(自然学類)
小野有五(地球科学系)

相模川上流部のいくつかの河岸段丘面上には、AT, Pm-Iなどの示標となるテフラが見られる。これらのテフラをはじめとする火山噴出物や段丘礫層によって河岸段丘はI～VI面の6つの段丘面と上野原付近にのみみられる大門面の合計7つの段丘面に区分することができる。

第I～VI面までの各段丘面と災山噴出物との関係を第1図に示した。第I面は寸沢嵐ロームに覆われる最高位の段丘面で段丘礫は極めて風化している。第II面はほぼBCVAの降下期頃に離水しており、礫層中下部にはPm-Iが水成で見出される。第III面はAT降下期頃に離水したfill top段丘で、第IV面(本流では古富士泥流をのせる)はfill strath段丘である。第V面は風成テフラはのせないが本流部では猿橋溶岩流に覆われるstrath段丘面、第VI面はそれ以下の低位段丘面群である。

特に第IV面の形成とそれ以降の発達史について考察すると、本流では第III面をつくる礫層に比べて第IV～V面の礫層中で富士山起源の礫の含有率が著しく増大することから、この時期に火山活動に伴う富士山からの岩屑供給が増大したことがわかる。また、大月より上流では猿橋溶岩流が第IV面を覆うようになり本流での第IV～V面は基本的には富士山の活動に制約されてつくられていると考えられる。これに対して、真木川上流部などの支流部ではAT降下期前後から斜面物質の供給が活発化し、段丘面の離水期は10,000y. B. P. 頃まで遅らされており(第1表)、最終氷期末期の斜面の不安定化が第IV・V面の形成に関与していることが考えられる。



第1図 相模川上流部の段丘模式断面図

第1表 大月周辺の河岸段丘の編年

地盤年代 ×10 ⁶ y. B.P.	テフラ	地形面		河床変化的相対的 進化 (河床高 Cm)	相模川上流部・ 猿橋川の段丘面 との対比
		相模川 (大月～上野原)	真木川 暴野川		
1	---	I	II	-	先駆性 段丘面 侵食工面 暴野工面 田名原I面 月夜野面
2	---	Sc-S AT	III	-	火山砂れきの 堆積面
3	---	IV	IV	-	堆积面
4	○○G BCVA	IV	V	-	堆积面
5	---	TP	VI	-	堆积面
6	---	---	VI	-	堆积面
7	---	MG-II	VI	-	堆积面
8	---	Pm-I	VI	-	堆积面
	---	Sup-V	VI	-	堆积面
	---	---	SAレキ層	-	ナマ晶山
(A. W.)					
テフラを のせる面		テフラ不 のせる面		テフラを のせる面	
大月レキ層		猿橋物質		スコリア の層	
大山砂れき層		水山灰 (ガラス質) の層		スコリア の層	
ラビリ		ラビリ (含めて飛沫の想い)		ラビリ	
シルト・泥層		シルト・泥層		シルト・泥層	
S: 侵食段丘		S: 侵食段丘		S: 侵食段丘	
E: 増殖段丘		E: 増殖段丘		E: 増殖段丘	
L: 残留段丘		L: 残留段丘		L: 残留段丘	
M: 古富士地盤		M: 古富士地盤		M: 古富士地盤	
E: 増殖段丘		E: 増殖段丘		E: 増殖段丘	
S: 侵食段丘		S: 侵食段丘		S: 侵食段丘	
SA: 砂れき層		SA: 砂れき層		SA: 砂れき層	